

文章编号 :1001 - 2486(2006)01 - 0043 - 05

# 一种基于广义 Hough 变换的遥感图像船舶横波自动检测与速度估计方法

\*

汤亚波 ,王希强 ,徐守时

(中国科学技术大学 电子工程与信息科学系 ,安徽 合肥 230027)

**摘要** 从 Kelvin 横波航迹的形成原理出发 ,详细推导了 Kelvin 横波波峰模型 ,提出一种基于广义 Hough 变换的遥感图像船舶横波自动检测方法 ,取得了较好的检测效果 ,并依据检测结果对船舶速度进行了估计。所述方法对海上船舶运输和港口管理等具有重要意义。

**关键词** 广义 Hough 变换 ;Kelvin 横波检测 ;船舶速度估计

中图分类号 :TP79 文献标识码 :A

## An Automatic Method for Transverse Wave Detection and Vessel Velocity Estimation Based on Generalized Hough Transform in Remote Sensing Images

TANG Ya-bo , WANG Xi-qiang , XU Shou-shi

( Department of Electronics Engineering and Information Science , Univ. of Science and Technology of China , Hefei 230027 , China )

**Abstract** According to the formation principle of the Kelvin Transverse Wave (KTW) , the KTW crest model was elaborated and analyzed. An automatic method for KTW detection and vessel velocity estimation was put forward on the basis of generalized Hough transform . The KTW detection results in remote sensing images were satisfactory and the vessel velocities were thus estimated. The method presented here will be helpful in marine transportation and harbor management.

**Key words** generalized Hough transform ;Kelvin transverse wave detection ;vessel velocity estimation

遥感图像上运动船舶的航迹特征与航速密切相关 ,近年来人们提出了多种方法<sup>[1-2]</sup>来进行遥感图像船舶航迹检测和速度估计 ,主要有 :根据窄 V 字形航迹估计船舶速度 ,根据航迹波高谱信息估计航速 ,根据运动船舶多普勒效应估计船舶速度 ,根据 Kelvin 横波检测估计船舶速度。其中前三种方法仅适用于 SAR 图像 ,而根据 Kelvin 横波检测的船舶速度估计方法对可见光和 SAR 图像均能适用。

## 1 Kelvin 横波与船舶速度

船舶运动时形成的 Kelvin 航迹(图 1<sup>[3]</sup>)主要分布在其后方约 39° 的 V 形区域内。 Kelvin 波为重力波 ,由纵波和横波组成。其中横波的波阵面与航迹垂直 ,在船舶航迹线上的移动速度(相速度)与船舶速度相同 ,可通过 Kelvin 横波波长  $\lambda$  估计船舶速度(  $g$  为重力加速度 )<sup>[2]</sup>:

$$v = \sqrt{g\lambda / 2\pi} = 1.24\sqrt{\lambda} \quad (1)$$

图 1 Kelvin 波<sup>[3]</sup>

Fig. 1 Kelvin wave

\* 收稿日期 2005 - 09 - 05

基金项目 :中科院支撑技术资助项目(42201020501);中科院知识创新方向性资助项目( kzcx0101 )

作者简介 :汤亚波(1968—),男,讲师,博士生。

## 2 Kelvin 横波波峰模型

文献[5]中未经说明,直接给出了一个参数形式表示的 Kelvin 横波波峰模型。本文从 Kelvin 波的形成原理出发,对此进行较详细的推导。

### 2.1 线性自由面水波

船舶引起的水波波动主要发生在水的表面附近,也称为水表面波。假定水是不可压缩的理想流体,重力场中处于静止状态液体的自由面为水平面。设自由面为  $XOY$  平面,  $Z$  轴垂直向上,建立直角坐标系。设水底深度为  $-H$ ,扰动后自由面形状为  $z = \zeta(x, y, t)$ ,则速度势满足拉普拉斯方程和下列条件:

$$\nabla^2 \varphi(x, y, z, t) = 0 \quad (2)$$

(1) 底面条件:在底面  $z = -H$  上,流体不可穿透。

$$\frac{\partial \varphi}{\partial z} = 0 \quad (z = -H) \quad (3)$$

(2) 线性自由面运动学和动力学条件:

$$\frac{\partial^2 \varphi}{\partial t^2} + g \frac{\partial \varphi}{\partial z} = 0 \quad (z = 0) \quad (4)$$

### 2.2 平面进行波

平面进行波是自由面上最基本的一种波形。任意一个质点的垂直位置定义为  $z = \zeta(x, y, t)$ ,当在  $(x, y)$  坐标平面产生一系列平行波时,只需要分析  $X-Z$  平面的波形运动方程。设  $A$  为波幅,  $k$  为波数,代表  $X$  轴上单位长度的波的个数,  $\omega$  为频率。此时自由面波形的通式为

$$\zeta(x, t) = A \cos(kx - \omega t) \quad (5)$$

$$k = 2\pi/\lambda = \omega/c_p \quad (6)$$

式(6)中,  $\lambda$  为波长,  $c_p$  为相速度。则根据式(5)可以构造函数式

$$\varphi(x, z, t) = \operatorname{Re}\{\zeta(z)e^{-ikx + i\omega t}\} \quad (7)$$

将式(7)代入式(2),结合深度无限的底面条件(式(3))和线性自由面条件(式(4))可得<sup>[4]</sup>

$$\varphi = \operatorname{Re}\{C e^{kz - ikx + i\omega t}\} \quad (8)$$

$$c_p = \omega/k = g/\omega = \sqrt{g/k} = \sqrt{g\lambda/2\pi} \quad (9)$$

### 2.3 Kelvin 波与横波波峰参数模型

将二维坐标下的波动方程式(5)推广到三维坐标空间,进行叠加并写成积分形式。同时参考坐标系的原点设为船舶位置(图 2),以速度  $v$  沿  $x$  方向行驶,则有<sup>[4]</sup>

$$\zeta(x, y, t) = \operatorname{Re} \int_0^\infty d\omega \int_0^{2\pi} d\theta A(\omega, \theta) \exp[-ik(x \cos\theta + y \sin\theta) + (\omega - kv \cos\theta)t] \quad (10)$$

从位于参考坐标系的观察者来看,平面进行波是静止的,也就是说各个位置的幅度不随时间改变,所以式(10)独立于时间变量,有

$$kv \cos\theta - \omega = 0 \quad (11)$$

$$c_p = \omega/k = v \cos\theta \quad (12)$$

从而将式(10)改写为

$$\zeta(x, y, t) = \operatorname{Re} \int_{-\pi/2}^{\pi/2} d\theta A(\theta) \exp[-ik(\theta)(x \cos\theta + y \sin\theta)] \quad (13)$$

$$A(\theta) = g/v^2 \cos^2\theta \quad (14)$$

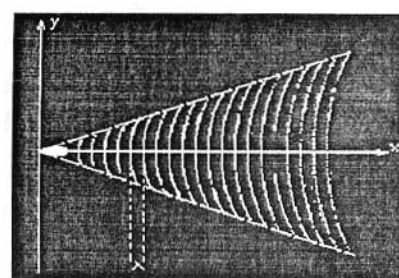


图 2 船舶 Kelvin 横波波峰坐标系  
Fig. 2 Ship Kelvin crest coordinate system

根据式(13),Kelvin 横波波峰处的坐标由式(15)决定。将式(14)代入式(15)计算后有式(16)。

$$\frac{d}{d\theta} [k(\theta)(x \cos\theta + y \sin\theta)] = 0 \quad (15)$$

$$\frac{y}{x} = -\frac{\cos\theta \sin\theta}{1 + \sin^2\theta} \quad (16)$$

不难看出,  $y$  与  $x$  的最大比值约为  $\tan(19^\circ 28')$ , 所以横波只分布在船尾  $\pm 19^\circ 28'$  内。令

$$W = (x \cos\theta + y \sin\theta) / \cos^2\theta \quad (17)$$

联立式(16)和式(17), 得到以参数  $W, \theta$  表示的横波波峰参数模型<sup>[5]</sup>:

$$\begin{cases} x = W(2\cos\theta - \cos^2\theta) \\ y = W\sin\theta\cos^2\theta \end{cases} \quad (18)$$

### 3 基于广义 Hough 变换的 Kelvin 横波检测和船舶速度估计算法

Hough 变换是图像处理中检测直线的常用方法, 其基本思想是利用点与线的对偶性, 将有噪声的平面图像上的点从  $X-Y$  坐标空间变换到参数空间, 并在参数空间来检测图像上的直线。Hough 变换推广到高维或者其他参数空间, 则成为广义 Hough 变换(generalized Hough transform)<sup>[6]</sup>, 可以检测任意形状的曲线。运用广义 Hough 变换可以有效地进行 Kelvin 横波检测, 从而估计船舶速度。

#### 3.1 基于广义 Hough 变换的 Kelvin 横波检测和波长提取

对于式(18)表示的横波波峰(图 2)坐标表达式, 易知参数  $W = s\lambda$ , 其中  $\lambda$  为横波波长,  $s$  为任意正整数。 $s$  不同, 则式(18)表示不同的横波波峰曲线;  $s$  较小时, 则对应的横波波峰靠近船舶位置; 而  $s$  相同,  $\theta$  不同, 则对应同一条波峰上的不同点。

对含有海上目标横波航迹的遥感图像进行预处理, 可形成横波峰值二值图像, 图中绝大部分横波峰值像素将二值化为亮点, 其余像素点的灰度值为 0。在船舶检测和识别的基础上确定出横波坐标系后, 对二值图像依据式(18)进行广义 Hough 变换, 可得到亮点像素基于参数( $W, \theta$ )的分布图, 对  $\theta$  求和得到以  $W$  为变量的量点像素统计结果曲线  $\pi(W)$  如图 3 所示(坐标纵轴与横轴单位均为像素个数)。

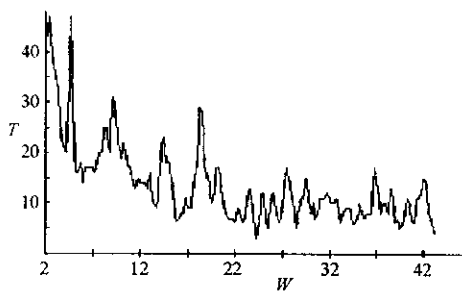


图 3 横波波峰像素统计结果曲线  $\pi(W)$

Fig.3 Transverse crest points statistic curve

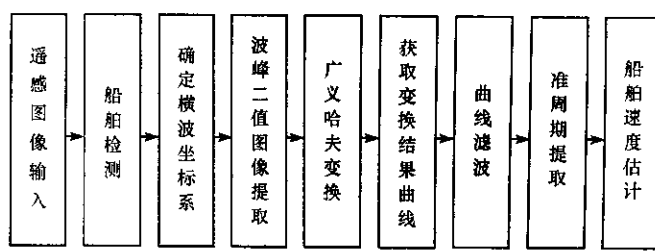


图 4 Kelvin 横波检测和船舶速度估计算法流程

Fig.4 Flow for KTW detection and vessel velocity estimation

二值图像中亮点包含绝大部分横波峰值像素, 当  $W = s\lambda$  时, 由于式(18)对应实际的横波波峰, 检测曲线上亮点较多, 从而  $\pi(W)$  比较大, 而  $W \neq s\lambda$  时对应的亮点较少,  $\pi(W)$  也比较小。因此  $\pi(W)$  为一准周期信号(quasi-periodic signal), 周期为横波波长  $\lambda$ 。通过对准周期信号  $\pi(W)$  的周期提取, 就可以检测出横波波长。

#### 3.2 基于广义 Hough 变换的 Kelvin 横波检测和船舶速度估计算法流程

根据上述分析, 本文提出基于广义 Hough 变换的 Kelvin 横波检测和船舶速度估计算法(图 4)。

在遥感图像中首先进行船舶检测, 提取船舶坐标和船舶长轴方向, 确定横波系坐标。然后对原始图像进行预处理, 得到含有横波波峰点的二值图像。根据式(18)进行广义 Hough 变换, 将直角坐标系的横波波峰亮点像素(图 2)变换到横波变换参数坐标系( $W, \theta$ )中。对  $\theta$  求和后得到相对于参数  $W$  的像素分布准周期曲线  $\pi(W)$ , 对  $\pi(W)$  进行滤波平滑后, 再进行周期提取, 可计算出横波波长  $\lambda$ , 最后根据式(1)估计船舶运行速度。

#### 3.3 基于 $K-L$ 变换确定横波坐标系

为了准确地检测横波并提取横波波长, 必须在船舶检测的基础上准确定位横波坐标系。在低分辨

率遥感图像上,一般可通过 Hough 变换提取船舶长轴方向并确定横波坐标系。但在中高分辨率遥感图像上,船体呈现一定的多边形形状,用 Hough 变换并不能高精度地确定船体长轴方向。

$$\begin{bmatrix} \bar{x} \\ \bar{y} \end{bmatrix} = E \begin{bmatrix} x \\ y \end{bmatrix} \quad (19)$$

$$\sum_{x,y} = E \left\{ \begin{bmatrix} x - \bar{x} \\ y - \bar{y} \end{bmatrix} \left[ (x - \bar{x})(y - \bar{y}) \right] \right\} \quad (20)$$

在图像处理领域, $K-L$ 变换利用图像的统计性质,用自协方差矩阵表示图像特征。自协方差矩阵是实对称方阵,可找到一组正交的特征向量,构成一组完备正交向量。对于二值图像实施  $K-L$  变换时,需先求出船舶目标像素点( $x, y$ )的均值矢量(式(19))和协方差矩阵(式(20))。再计算协方差矩阵的特征值和特征矢量,特征矢量的方向分别对应船舶长轴和短轴,即横波坐标系中的  $X$  和  $Y$  轴方向。实验表明对于中高分辨率图像,基于  $K-L$  变换确定的横波坐标系更准确。

### 3.4 广义 Hough 变换结果 $\pi(W)$ 曲线滤波

由图 3 可以看出,实际的  $\pi(W)$  曲线上叠加了许多类似于毛刺噪声的干扰信号,其周期性不太明显,需要对其进行滤波。考虑到中值滤波器可以较好地去除信号中的毛刺噪声,均值滤波器对信号的平滑作用较好,本文将两种滤波方法相结合,先采用中值滤波器对毛刺进行滤除,再采用均值滤波进行平滑,取得了较好的滤波效果。对图 3 的  $\pi(W)$  曲线的滤波效果如图 5 所示。图 5 中,坐标纵轴和横轴单位均为像素个数。可以看出滤波后,  $\pi(W)$  曲线中的毛刺基本去除,曲线也更加平滑。

### 3.5 横波波长检测

对横波波长的检测即对图 5 准周期信号  $\pi(W)$  周期的提取,常用的方法包括:极大值法、过零点法和互相关法等。其中互相关法将信号与不同频率的测试信号进行互相关,对用不同频率测试信号得到的相关量进行比较,与最大值对应的测试信号频率即为被测信号的主频率,其周期为准周期信号周期。研究表明,互相关法运算量小,信号周期检测稳定可靠,因此本文采用互相关法对横波波长进行提取。

## 4 基于广义 Hough 变换的 Kelvin 横波检测和船舶速度估计算法实验结果

用本文提出的基于广义 Hough 变换的 Kelvin 横波检测和船舶速度估计算法,分别对 2.5m 和 15m 分辨率的卫星遥感图像上的海上运动目标横波航迹进行了检测,取得了较好的效果。

图 6 为 2.5m 分辨率的 Spot-5 海上目标遥感图像,图 7 为横波检测结果图,检测横波波长为 19 个像素(47.5m),估计船舶速度为 8m/(16.73 节)。图 8 和图 9 分别为 15m 分辨率遥感图像和船舶横波检测结果图,检测横波波长为 5 个像素(75m),估计船舶速度为 10.7m/(20.84 节)。

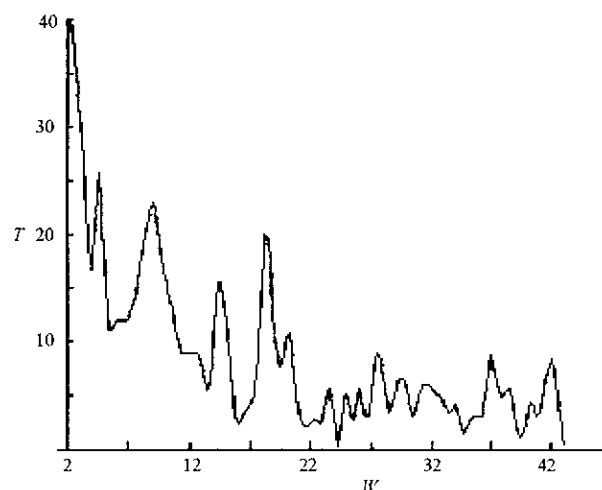


图 5  $\pi(W)$  曲线滤波效果  
Fig. 5 Curve  $\pi(W)$  filter results

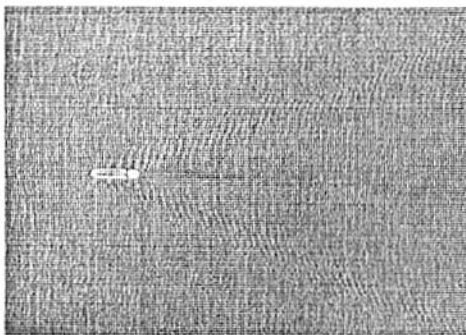


图 6 Spot - 5 图像上的船舶和横波

Fig.6 Ship and transverse wave in Spot - 5 image



图 7 Spot - 5 图像上船舶横波检测结果

Fig.7 Transverse wave detection result in Spot - 5 image

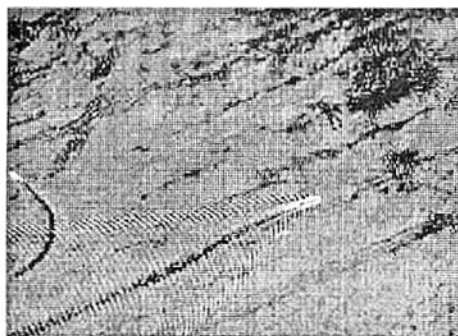


图 8 15m 分辨率遥感图像上的船舶和横波航迹

Fig.8 Ship and transverse wave in 15m resolution image

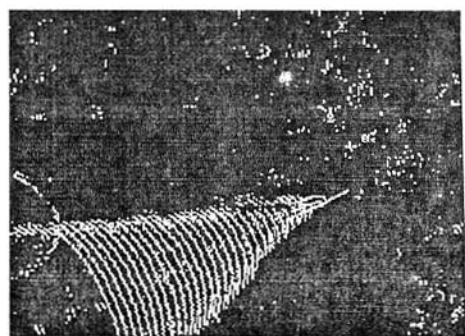


图 9 15m 分辨率图像上船舶横波检测结果

Fig.9 Transverse wave detection result

## 5 结束语

本文从横波航迹的形成原理出发,推导了 Kelvin 横波波峰模型,提出了一种基于广义 Hough 变换的遥感图像船舶横波自动检测和速度估计方法,在海面相对平静的遥感图像上取得了较好的检测效果,有助于基于遥感图像的海上船舶运输和港口管理。当海风等各种条件引起的海面波纹对船舶横波航迹造成较大干扰时,现有算法还不够稳定,存在一定的虚警和漏警现象,尚需进一步研究。

## 参 考 文 献 :

- [1] 周红建,李相迎,等.从卫星 SAR 海洋图像中检测船目标[J].国防科技大学学报,1999,21(1).
- [2] 王红梅,潘广东,等.利用遥感技术检测船舶航速的方法研究[J].遥感学报,2001,5(2).
- [3] [Http://www.eng.vt.edu/fluids/msc/my\\_pages/ocean/c\\_water.htm](http://www.eng.vt.edu/fluids/msc/my_pages/ocean/c_water.htm) [EB].
- [4] Newman J N. Marine Hydrodynamics[M]. The MIT Press Cambridge,1977.
- [5] Chich Y P,Liu A K,Chang S.Detection and Analysis of Ship Waves in ERS - 1 SAR Imager[J]. IEEE International Geoscience Remote Sensing Symposium,1996 380 - 382.
- [6] Ballard D H. Generalizing Hough Transform to Detect Arbitrary Shapes[J]. Pattern Recognition, 1981,13(2):111 - 122.

